

CFH2

1953

9240-IV

H_2BF , H_2NO , H_2CF , H_2NF (str.)

Walsh A.D.

J.Chem.Soc., 1953, 2306-17

The electronic orbitals,
shapes, and ...

J

H₂CF Fessenden R.W.

1965

Schuler R.H.

J. Chem. Phys 43, 2404

DCP синтез нориен. синтез [62]

(3)

1965

CH₂F

YP

1309 - 2927 a - 1

Lifshitz Ch.,
Zong F.A.

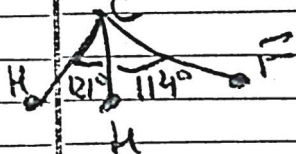
J. Phys. Chem., 1965,
69, p. 11, 3731.

(Cu. Cr) III

CH₂F

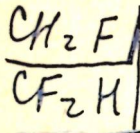
Beveridge D. N., Dobosh P.A., 1968
Pople J.A.

J.C.P., 48, 4802, 1968.



LCAO SCF MD

6 monomers.
JNDO calculations



Gordon M. S.
Pople J.A.

1968

$\text{CH}_2, \text{CF}_2, \text{CF}_3, \text{CH}_3$ J. Chem. Phys.

paper

publ. no.

49, N10, 4643 - 50

resumen

using INDO/intermediate neglect of
differential overlap (an CH_2 , II) ⑤

CH_2F Morokuma K.,
Pedersen L.,
Karplus M

1968

J. Chem. Phys. 48(10), 4801

Hydrogen Refresher migration
Solvation CH_3OH , CH_2Cl_2 ,
 CH_2N_2 , 0

H₂CF

Carver T. G., Andrews L. ^{log}

J. Ch. Ph., 1969, 50, 112, 900

11628 - C-F bas. nov.

~~Li-apatic~~ { Li-apatic H₂CF Br₂
 H₂CRCl₂.

u. bee'



(4)

1969

H₂ CF

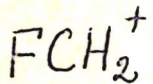
Yacov M. &.

Milligan & S.

UK museum

J. Chew. Mus., 50 (8),
3252.

(coll. CF) 111



Baird N.C.,
Dattor R.R.

1971

(enone) "Can. J. Chem.", 1971, 49, N22,
3708 - 3713

(ee CH_3^+ , III)

CH_2F , Et. (8)

1971

Kerr J.A., Timlin D.M.

Jn^o. M. Chem. Kinek. 1971, 3, 15,
M27-441.

CH₂F

1971

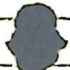
(V) i)

Mamuya

(145814b) Matrix reactions of fluorohalomethanes with alkali metals. Infrared spectrum and bonding in the mono-fluoromethyl radical. Raymond, James I.; Andrews, Lester (Chem. Dep., Univ. Virginia, Charlottesville, Va.). *J. Phys. Chem.* 1971, 75(21), 3235-42 (Eng). When CH₂FBr dild. in Ar is codeposited with a beam of at. Li at 15°K, the free radicals CH₂F and CH₂Br are stabilized in sufficient concn. for observation of several ir absorptions. Studies utilizing CD₂FBr and CH₂FCI help confirm the spectral identity of the CH₂F free radical. The new absorptions are assigned to the symmetric C-F stretching vibration of the CH₂F and CD₂F radicals, and the DCD bending mode of CD₂F. The vibrational potential function giving the best fit of symmetric vibrational frequencies is detd. and bonding in CH₂F is discussed.

C. A. 1971

45.24



7

CH_2F

1972

Lossing F.P.

Bull. Soc. Chim. Belg., 1972,
81, N° 2, 125-134.

γ_{D_0} , ΔH_f

• $(\text{C}_6\text{H}_5\text{CH}_2\text{Cl})_{1/4}$

H₂CF

Nakatsuji, Hiroshi

1973

реак.

Синтез

"J. Amer. Chem. Soc"

1973, 95, N 2, 354-61.

"предлагают в основе
и взр. сочленен"'

лес. Bellz; III) ⑧

CH_2F

Uekura, Yoichi; 1973
Saito, Naoshi, et al.

(Y)

"Chem. Lett."
1973, (5), 495-9.

(catal. CF_3 ; III)

50318.8464

Ch, Ph, TC

30526GR

1975

CH₂F

X 4-8336

Poinel Gustav.

Calculation of dipole moments with a CNDO-
APSG procedure.

"Mol. Phys.", 1975, 29, N 2, 641-643

(англ.)

0324 РНК

292 298 316

ВИНИТИ

440--

50210.6623

Ch, Ph, TC, Ex-C

几何学

95201

02

1975

 CF_3^+ (A^-) * 4-8065

Richardson Jeffery H., Stephenson L.M.,
 Brauman John I. Photodetachment of ele-
 ctrons from trifluorosilyl ions; the
 electron affinities of CF_3^+ and SiF_3^+ .
 "Chem. Phys. Lett.", 1975, 30, N 1, 17-
 20 (англ.)

4298 РИК

276 276 0990

ВИНИТИ

60224.8724 КБ. неэ.упаковка

TC, Ch, Ex-C, MGU

1976

$\text{CH}_2\text{-F}$

3849

Bernardi Fernando, Epiotis Nicolaos D.,
Cherry William, Schlegel H. Bernhard,
Whangbo Myung-Hwan, Wolfe Saul.
A molecular orbital interpretation of the
static, dynamic, and chemical properties
of CH_2X radicals.

"J. Amer. Chem. Soc.", 1976, 98, N 2,
469-478 (англ.)

543 543 . 548

0556 НИК ВИНИТИ

CH_2F

* US-15578

1976

Bischof P.

(7)

J Amer Chem Soc
1976, 98, v2L, 6844-49

70114.8790
Ex-Ch, TC

29850

1976

CH_2F^+

~~# 4-16292~~

Burdon James, Davies D.W., del Co-
nde Guillermo.

Ab initio gaussian calculations on the
 CH_3^+ and CH_2F^+ cations.

"J.Chem.Soc.Perkin Trans.", 1976, N 11,
Part 2, 1193-1195 (англ.)

0790 ник

733 743 782

ВИНИТИ

CH_2F

1977

Stree F., et al

molecula.
receptus "Rev. roum. chim." 1977,
22, NG, 815-825 (un.)



cell. $\text{CH}_3 - \bar{\text{W}}$

1977

CH₂F

(+)

8 Б160. Лазерный спектр магнитного резонанса CH₂F в длинноволновой ИК-области. Mucha J. A., Jennings D. A., Evenson K. M., Hougen J. T. Far-infrared laser magnetic resonance spectrum of CH₂F. «J. Mol. Spectrosc.», 1977, 68, № 1, 122—124 (англ.)

На спектрометре магнитного резонанса в длинноволновой ИК-области с CO₂-лазерной накачкой измерен вращательный спектр свободного радикала CH₂F. Радикал CH₂F образуется при р-ции F+CH₃F→CH₂F+HF, где атомы F получены из МВ-разряда в потоке He+CF₄. На спектрометре выполнены измерения на 25 длинноволновых ИК-лазерных линиях в области длин волн от 300 до 890 мк, из к-рых поглощение CH₂F зарегистрировано только на четырех линиях 301,3, 393,6, 513,0 и 567,9 мк. По спектрам установлено, что радикал представляет собой почти вытянутый волчок с симметрией C_{2v}. В пренебрежении влияния магнитного поля, спинового расщепления и центробежного искажения, определена вращательная постоянная (B+C)=1,953(15) см⁻¹. Возможные структурные параметры радикала r(C—H)=1,09 Å, r(C—F)=1,32 Å, <HCH>=118° приводят к значению вращательной постоянной (B+C)=1,960 см⁻¹.

С. Н. Мурзин

26.08.1978

CH₂F

1977

87: 175338q Far-infrared laser magnetic resonance spectrum of the monofluoromethyl radical. Mucha, J. A.; Jennings, D. A.; Evenson, K. M.; Hougen, J. T. (Inst. Basic Stand., Natl. Bur. Stand., Boulder, Colo.). *J. Mol. Spectrosc.* 1977, 68(1), 122-4 (Eng). Laser magnetic resonance rotational spectra of the free radical CH₂F were obtained using far-IR laser lines at 301.3, 393.6, 513.0, and 567.9 μ . The radical was prep'd. under fast-flow conditions by F atom abstraction of a H from MeF and by F atom addn. to diazomethane. The spectra obtained are too crowded and overlapped to permit significant spectroscopic anal., but they do support a planar C_{2v} structure for CH₂F and lead to a value of (B + C) = 1.953 \pm 0.015 cm⁻¹.

(jagep)
JHP

*nuocca's
conformation*

C. A. 1977. 87. *Ndx*

CH₂F

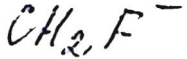
ommec 6088

1978

Bernardi F., et al.

Crescenzi
Mazzanti

J. Amer. Chem. Soc.
1978, 100(5), 1352 - 56



3 Б45. Неэмпирические расчеты в гауссовом базисе анионов CH_3^- и CH_2F^- . Burdon B. J., Davies D. W., Conde G. del. Ab Intio Gaussian Calculations on the CH_3 and CH_2F Anions. «J. Chem. Soc. Perkin Trans.», 1979, Part 2, № 9, 1205—1207 (англ.)

15-б. ФССК
рассматр

130-
v F

2.1980.13

Неэмпирическим методом ССП МО ЛКАО в миним. несгруппированном ($5s4p/4s$) гауссовом базисе рассчитаны плоская и пирамидальная конфигурация CH_3^- (I) и CH_2F^- (II). Для каждой структуры оптимизированы все длины связей и валентных углов. Наиболее стабильной является пирамидальная структура; рассчитанный барьер инверсии (БИ) равен (ккал/моль): I 1,08, II 13,23. Первое значение хорошо согласуется с результатами, полученными при использовании существенно больших базисов (0,9—5,5 ккал/моль). Потенциалы ионизации I и II, полученные на основании теоремы Купменса равны (эв): I 0,40, II 1,59. Согласно расчету длина связи CF в плоском II равна 1,46 Å, т. е. примерно на 0,1 Å длиннее, чем в нейтр. соединениях, а при переходе к пирамидальному II она увеличивается до 1,529 Å. Контрольные расчеты II в расширенном базисе, дополненном поляризац. функциями на атомах C и F дали несколько более короткую длину связи CF (1,475 Å) при увеличении БИ до 19,2 ккал/моль.

В. Фаустов

H₂CF

1980

Hitchcock A.P. et al

J. Electron. Spectrosc.

and Relat. Phenom.

1980, 19, n3, 231-50



Cu Na CO i^{III}

CH_2F^-

Lammeid 11003 | 1980.

Hopkinson, S.C. et al.

short. 200.0,
faster,

Z. f. Anorg. Chem.;
1980, 18, 1371-91.



(act. CH_2H^- ; III)

$\text{FC}\text{H}_2\cdot$

1980

Leroy G., et al

Nouv. j. chim., 1980, 4,
N6, 403-409.

KB.ucl.
pacré

● $(\text{Cu}(\text{CH}_3\cdot))\overline{\text{III}}$

CH_2F
 CD_2F

London 12813 / 1981.

Yacov et al. E.

Chem. &
Phys.
of
polymer
and

Chem. Phys., 1981,
59, 199 - 212

CHAF

[Dmnueck 12755]

1981

Leroy F., Peeters D.,

J. Mol. Struct. 1981,
85, 133-152.

Kb. uex.
paciem,
nonemp.

A theoretical investigation
of the structure
and reactivity of carbon-
centred radicals.



1982

pacem

recep.,

Січескій.

He, A H.

Spitznagel G. W.,
Clark T., et al.

Z. Comput. Chem.

1982, 3, n3, 363-371.

(cav. HCH_2^- ; II)

CH_2F

1983

De Alti Biancarlo,
Decleva Piero, et al.

Pacrem
g;

Chem. Phys., 1983, 76,
N 2, 185-193.

(C.M. Yuc- N_2H_2 ; III)

1983

 CH_2F^-

13 Б34. Молекулярно-орбитальная трактовка эф-
фектов заместителей. I. Структуры некоторых карбоно-
вых кислот и их сопряженных оснований. Molecular or-
bital treatment of substituent effects. I. Structures of
some carbon acids and their conjugate bases. Edge-
combe Kenneth E., Boyd Russell J. «Can. J.
Chem.», 1983, 61, № 1, 45—49 (англ.; рез. фр.)

Выполнены неэмпирич. расчеты 3 серий углеродных
к-т $\text{CH}_n\text{X}_{4-n}$ ($n=1, 2, 3$, $\text{X}=\text{F}, \text{CN}, \text{NO}_2$) и соотв-щих
сопряженных оснований $\text{CH}_{n-1}\text{X}_{4-n}$. Оптимизация гео-
метрий проводилась в миним. базисе ОСТ-ЗГФ, уточ-
няющие расчеты — в базисе 3-21ГФ. Для анионов
 CH_2F^- , CHF_2^- , CF_3^- , $-\text{CH}_2\text{CN}$ и $-\text{CH}_2\text{NO}_2$ оптимиза-
ция геометрии проведена также в базисе 6-31ГФ*. Реб-
зультаты сопоставлены с имеющимися эксперим. дан-
ными. Найдено, что базис 3-21ГФ и (в меньшей сте-
пени) ОСТ-ЗГФ воспроизводят наблюдаемое у фтор-
метанов укорочение связи $\text{C}=\text{F}$ при увеличении числа
атомов F. Такую же тенденцию расчет предсказывает
и для фторметильных анионов расчет приводит к пи-
рамидальной конфигурации карбанионного атома угле-

*расчет цепей,
структур, E;*

(+1)

X. 1983, 19,
N/3

рода фторметильных анионов и к планарной — циано-
и нитрометильных, за исключением $-\text{CH}_2\text{CN}$. Однако
более широкие базисы (4-31ГФ, 6-31ГФ*) дают и для
 $-\text{CH}_2\text{CN}$ планарную C_{2v} -геометрию. Для динитроме-
тильного аниона получена неплоская равновесная гео-
метрия, лишенная элементов симметрии (C_1), а для
тринитрометильного — пропеллерная конформация сим-
метрии C_3 . Сравнение энергий, рассчитанных в бази-
сах OCT-3ГФ и 3-21ГФ, показывает, что расширение
базиса дает понижение энергии как для анионов, так
и для сопряженных к-т в размере $0,865 \pm 0,007$, $0,661 \pm$
 $\pm 0,008$ и $1,561 \pm 0,027$ ат. ед. в расчете на 1 замещаю-
щую группу F, CN и NO_2 соответственно.

В. Я. Беспалов

CH₂F

от 1762+

1983

5 Б1233. Микроволновый спектр фторметильного радикала CH₂F. The microwave spectrum of the fluoro-methyl radical CH₂F. Endo Y., Yamada C., Saito S., Hirota E. «J. Chem. Phys.», 1983, 79, № 4, 1605—1611 (англ.)

На МВ-спектрометре с частотной модуляцией источника измерен в области частот 58—181 ГГц вращательный спектр фторметилового радикала, CH₂F, в основном и возбужденном изгибном $v_4=1$ колебательных состояниях. Радикал генерировали непосредственно в поглощающей ячейке при помощи МВ-разряда из CF₄. Анализ спектра выполнен с учетом спин-вращательного, протон и F-ядерных сверхтонких и F-ядерный спин-вращательного взаимодействий. Вращательные постоянные в основном и $v_4=1$ состояниях соотв. равны (МГц): A = 265 200 и 258 800, B = 30948,322(27) и 30828,092(61), C = 27727,773(27) и 27829,070(53). Измерений относит. интенсивностей МВ-переходов оценена энергия изгибной неплоской моды над основным состоянием 300(30) см⁻¹. Радикал, по-видимому, соответствует плоской структуре C_{2v} -симметрии.

С. Н. Мурzin

*м.л., Иолистр,
Структура*

Х. 1984, 19, N 5

CH₂F

Om. 17627

1983

1 Л174. Микроволновый спектр фторометилового радикала CH₂F. The microwave spectrum of the fluoromethyl radical, CH₂F. Endo Yasuki, Yamada Chikashi, Saito Shuji, Hirota Eizi. «J. Chem. Phys.», 1983, 79, № 4, 1605—1611 (англ.)

Исследован микроволни. спектр радикала CH₂F, полученного при реакции между CH₃F и продуктами распада CF₄ в РЧ-разряде. В диапазоне 58—181 ГГц идентифицированы линии вращательных переходов с $N' \leftarrow N'' - 1 - 0, 2 - 1, 3 - 2$, их тонкая и сверхтонкая структура, в основном колебат. состояния, а также ряд линий возбужденного колебат. состояния с $v_4 = 1$ с энергией около 300 см⁻¹ над основным уровнем. Анализ спектра выполнен с учетом взаимодействия электронного и ядерных спинов с вращением, электрон-ядерных и чистых ядерных спин-спиновых взаимодействий и квартичного центробежного искажения. Показано, что основное электронное состояние имеет орбитальную B_1 -симметрию и плоскую или квазиплоскую конфигурацию ядер. Определены значения констант тонких и сверхтонких взаимодействий.

М. Р. Алиев

*ср. 1984, 18,
N/*

$\text{CH}_2\text{F}^+(?)$

Он. 196/3 1984

2 Л394. Исследование основного состояния CH_2F^+ и CD_2F^+ методом фотоэлектронной спектроскопии. A photoelectron spectroscopic study of the ground states of CH_2F^+ and CD_2F^+ . Andrews Lester, Dyke John M., Jonathan Neville, Keddie Noureddine, Morris Alan, Ridha Abed. «J. Phys. Chem.», 1984, 88, № 11, 2364—2368 (англ.)

Методом HeI-фотоэлектронной спектроскопии исследованы продукты реакции атомарного фтора с фтористым метилом. Полоса фотоэлектронного спектра с адиабатич. потенциалом ионизации (ПИ) $9,04 \pm 0,01$ эВ и вертикальным ПИ $9,22 \pm 0,01$ эВ отнесена к радикалу CH_2F . Определены колебательные частоты иона $\text{CH}_2\text{F}^+ - 1450 \pm 30 \text{ см}^{-1}$ и $\text{CD}_2\text{F}^+ - 1530 \pm 30 \text{ см}^{-1}$. Методом ΔSCF рассчитаны вертикальные потенциалы ионизации CH_2F . Библ. 49.

Ю. В. Чижов

(+2) \otimes

оф. 1985, 18, N 2



$\text{CH}_2\text{F}^+ (\nu_i)$
 $\text{CD}_2\text{F}^+ (\nu_i)$

CH_2F^+

CD_2F^+

Ом. 196/13

1984

24 Б1142. Изучение методом фотоэлектронной спектроскопии основных состояний CH_2F^+ и CD_2F^+ . A photo-electron spectroscopic study of the ground states of CH_2F^+ and CD_2F^+ . Andrews L., Dyke J. M., Jonathan N., Keddar N., Morris A., Ridha A. «J. Phys. Chem.», 1984, 88, № 11, 2364—2368 (англ.)

С использованием многоканального энергоанализатора электронов измерены фотоэлектронные спектры (ФЭС) с возбуждением Не—I для продуктов реакции CH_3F с атомами F, образованными при зажигании микроволнового разряда в смеси 5% F_2/He . Измерения проведены при различных парц. давл. реагентов и расстояниях между местами их смешивания и пересечения с излучением. После тщательного анализа полученных данных в ФЭС выделена полоса, к-рая отнесена к ионизации свободного радикала CH_2F (X^2B_2). Найдены первые адиабатич. и вертикальный потенциалы ионизации CH_2F — $9,04 \pm 0,01$ и $9,22 \pm 0,01$ эВ, а по колебательной структуре этой полосы определена частота (v) валент-

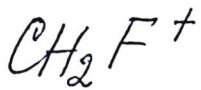
и. ν_i ; ν_i

(8)
(4)

ж. 1984, 19, № 24

CH_2F , CD_2F (ν , ν_i)

ных C—F колебаний в основном состоянии катиона CH_2F^+ — $1450 \pm 30 \text{ см}^{-1}$. Из аналогичных измерений для CD_3F установлен изотопный сдвиг ν до $1530 \pm 30 \text{ см}^{-1}$, что объяснено взаимодействием симметрич. вал кол. C—F и ножн. кол. CH_2 . Из сопоставления полученных результатов с лит. данными оптич. спектров поглощения для нейтр. свободных радикалов CH_2F (CD_2F) в матрице аргона сделан вывод, что более низкие значения ν для последних 1163 (1193) см^{-1} свидетельствуют об удлинении связи C—F при переходе от нейтр. свободного радикала к соотв. катиону CH_2F^+ (CD_2F^+). Обсужден механизм реакции $\text{CH}_2\text{F} + \text{F}$. О. А. Басченко



1984

Dulcey C.S., Bogan D.J.;
et al.

Laser Techn. Extreme
Ultraviolet. 2nd Top.

Meet., Boulder, Colo, 5-7

March, 1984. New York, 1984,

156.

(cu. CH_2F ; II)

crekmp

CH₂F

1984

12 Б1193. Спектроскопия многофотонной ионизации
радикала фторметила. Multiphoton ionization spectroscopy of the fluoromethyl radical. Dulcey C. S., Bogan Denis J., Hudgens Jeffrey W. «Laser Techn. Extreme Ultraviolet. 2nd Top. Meet., Boulder, Colo, 5—7 March, 1984». New York, 1984, 156 (англ.)

Методом многофотонной ионизации зарегистрирован первый электронный спектр радикала CH₂F. Молекулы CH₂F получались в быстропроточном реакторе при взаимодействии атомарного фтора с кетеном или CH₂F. Под действием излучения перестраиваемого (в области 345—365 нм) лазера на красителе радикалы возбуждались и ионизировались. Регистрировались ионы CH₂F⁺. Наблюдались две триплетные полосы при 358 и 349,5 нм (разница в энергии 1560 см⁻¹) с интервалом между подполосами триплетов ~155 см⁻¹, а также несколько широких, слабых полос. Первые две, как предполагается, связаны с двухфотонным резонансом через ридберговское состояние 3p (~55 700 см⁻¹) с квантовым дефектом 0,56. После поглощения возбужденными молекулами еще одного фотона образуется молек. ион, при этом никакой фрагментации не наблюдается.

спектр

(H)

CH₂F⁺

В. М. Ковба

X.1985, 19, N12

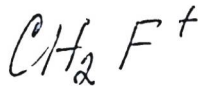
CH_2F^- DM. 21231 1984

CHF_2^- Edgecombe K., Boyd R.J.

Crogerbo Car. J. Chem., 1984,

K

Hromsky 62, 2887-2894.



1984

Frenking Gernot, Koch
Wolfram

Z. Mol. Struct., 1984, 110,
N1-2, Suppl. Theochem.,
19, N1-2, 49-59.

(cur. CH_2FH^+ ; III)



1985

Bernardi Fernando
Margini Angeio, et al.

20:00emp.,
copykm., Z. Chem. Soc. Perkin
No; Frans., 1985, Pt 2, N 1,
111 - 114.

(cu: $H_2C=X$; iii)



1985

Hopkinson A. C.,
Lien M. H.,

recomp. Can. J. Chem., 1985,
63, N^o 2, 3582-3586,

(Ces. CH^+ ; III)

CH₂F

1986

№ 10 Л178. ИК-диодно-лазерная спектроскопия полосы ν_3 радикала CH₂F. Infrared diode laser spectroscopy of the ν_3 band of the fluoromethyl radical, CH₂F. Yamada Chikash, Hirota Eizi. «J. Mol. Spectrosc.», 1986, 116, № 1, 101—107 (англ.)

Методом диодно-лазерной спектроскопии с использованием зеемановской модуляции исследован ИК-спектр поглощения радикала CH₂F, образующегося в условиях электрич. разряда в смеси метилфторацетата (0,1 мм рт. ст.) с Ar или N₂ (0,4 мм рт. ст.). С разрешением, ограниченным доплеровским пределом, в области 1139—1188 см⁻¹ измерены частоты линий колебательно-вращательной полосы ν_3 , обусловленной CF-валентными колебаниями CH₂F, определены спин-вращательные расщепления линий. В результате анализа наблюдаемой структуры найдено положение начала полосы, рассчитаны значения молекулярных постоянных и постоянных спин-вращательного взаимодействия в возбужденном колебательном состоянии $\nu_3=1$ CH₂F.

В. К.

ф. 1986, 18, № 10

CH₂F

OM 23676

1986

19 Б1301. Инфракрасная диодная лазерная спектроскопия полосы v_3 фторометильного радикала. Infrared diode laser spectroscopy of the v_3 band of the fluoromethyl radical, CH_2F . Yamada Chikashi, Hirota Eizi. «J. Mol. Spectrosc.», 1986, 116, № 1, 101—107 (англ.)

Методом диодной лазерной спектроскопии получен спектр ИК-поглощения в обл. 1139—1188 см^{-1} с доплеровским пределом разрешения для фторометильного радикала CH_2F (I), образующегося при эл. разряде во фторацетате, $\text{CH}_2\text{FCOOCH}_3$. Интерпретированы 25 переходов в Q-ветви, 22 перехода в P-ветви и 5 переходов в R-ветви полосы v_3 в ИК-спектре I. Определено значение v_0 , равное 1170,41645 (56) см^{-1} , величины вращат. постоянных, постоянных центробежного искажения и спин-вращат. взаимодействия для возбужденного колебат. состояния с $v=1$ и сравнены с данными микроволновой спектроскопии для основного состояния исследованного радикала (Endo Y. и др., «J. Chem. Phys.», 1983, 79, 1605). Г. М. Курамшина

(*i, III·n.*)

X·1986, 19, N19

CH_2F

Om: 23676)

1986

104: 138535a Infrared diode laser spectroscopy of the v_3 band of the fluoromethyl radical, CH_2F . Yamada, Chikashi; Hirota, Eizi (Inst. Mol. Sci., Okazaki, Japan 444). 'J. Mol. Spectrosc.' 1986, 116(1), 101-7 (Eng). The v_3 (C-F stretching) band of the CH_2F radical was obsd. with Doppler-limited resoln. by using IR diode laser spectroscopy with Zeeman and discharge current modulation. The CH_2F radical was generated directly in a multiple reflection absorption cell by the elec. discharge in $\text{CH}_2\text{FCOOCH}_3$. The obsd. spectrum was analyzed to yield the band origin of $1170.4165(6)$ cm^{-1} with 1 std. error in parentheses, in addn. to the rotational consts., centrifugal distortion consts., and spin-rotation interaction consts. in the $v_3 = 1$ state.

(D₃)

c.A. 1986, 104, N16

CH₂F

ОМ. 29079

1987

16 Б1229. Спектры многофотонной ионизации радикальных продуктов в системе F(²P) + кетен. Спектральное отнесение и реакция образования для CH₂F, наблюдение CF и CH. Multiphoton ionization spectra of radical products in the F(²P) + ketene system: Spectral assignments and formation reaction for CH₂F, observation of CF and CH. Hudgens J. W., Dulcey C. S., Long G. R., Bogan D. J. «J. Chem. Phys.», 1987, 87, № 8, 4546—4558 (англ.)

Методом резонансно усиленной многофотонной ионизации (МФИ) исследованы продукты р-ции атомарного фтора с молекулами кетена ($\text{H}_2\text{C}=\text{C=O}$, $\text{D}_2\text{C}=\text{C=O}$) в проточной системе. В кач-ве источника излучения использовался импульсный перестраиваемый лазер на красителе (ширина полосы $0,2 \text{ см}^{-1}$), детектором служил масс-спектрометр. В обл. спектра 292—395 нм идентифицированы след. радикальные продукты: CH₂F и CD₂F (основные), CH, CF, атоны C. Спектры МФИ (2+1) фторметилрадикала связаны с двухфотонным возбуждением ридберговских состояний 3p, 4p и 5p (начала переходов соотв. при 52863, 63275, 67267 см^{-1}).
(73)

М.Н.

X. 1988, 19, N 16

для CH_2F и 52786, 63195, 67186 см^{-1} для CD_2F). Предполагается, что радикалы CH_2F в основном и ридберговских состояниях, а также молек. ион имеют плоскую структуру симметрии C_{2v} . В переходах наблюдалась структура связанная в основном с колебаниями $v_2'(a_1, \text{CF вал.})$, $v_3'(a_1, \text{CH}_2 \text{ деф.})$, $v_4'(b_1, \text{виепл. деф.})$. Выполнен анализ нормальных координат и рассчитано распределение по ним потенциальной энергии для ридберговских $3p$ - и $4p$ -состояний. Значения (в см^{-1}) частот колебаний v_2, v_3, v_4 CH_2F ; v_1, v_2, v_3, v_4 CD_2F : состояние $3p$ — 1575, 1420, 1223, 2176, 1504, 1080, 976; состояние $4p$ — 1580, 1443, 1259, 2190, 1513, 1076, 1004. Определены также значения v_4'' (260 см^{-1} — CH_2F , 170 см^{-1} — CD_2F).

Спектр МФИ (2+1) CH при ~ 311 нм отнесен к двухфотонному возбуждению $D^2\Pi(r=2) \leftarrow X^2\Pi_r$. Механизм образования радикалов CH не установлен. В спектре МФИ (2+1) CF (385—340 нм) наблюдалась прогрессия $v'=0-3 \leftarrow v''=0$ ридберговского перехода ($v_0 \sim 52572$, $\omega_e' = 1820$, $\omega_e'x_e' = -18,2 \text{ см}^{-1}$).

Б. М. Ковба
спец
Н-гр

CH_2F^+ Locht R., Monigny J., 1987
Ruehl E. et al.,

Коулес
Физикохим. Chem. Phys. 1987, 117(2)
ноябрь. 305-313.

A mass spectrometric photoionization study of methyl fluoride.
CA. 1987, 107, N24, 225762C

CH₂F(2) (Dn. 28143)

1987

Lueke B.T., Loew F.H.,
et al.,

M.N.,

ASH;

J. Amer. Chem. Soc., 1987,
109, N 5, 1307 - 1317.

CH_2F

On 26025

1987

106: 220256k Theoretical study of the vibrational frequencies of fluorinated methyl and ethyl radicals. Paddon-Row, Michael N.; Wong, Stephen S. (Sch. Chem., Univ. New South Wales, Kensington, 2033 Australia). *THEOCHEM* 1987, 35(1-2), 109-20 (Eng). Harmonic vibrational frequencies for the following fluorinated Me and Et radicals in their staggered conformations were calcd. by using the UHF/3-21G model: CH_2F , CHF_2 , CF_3 , CH_3CH_2 , CH_3CH_2 , CF_3CH_2 , and CF_3CF_2 . The computed ordering of the frequencies for CF_3 , CH_3CH_2 and CF_3CF_2 are in good agreement with the available exptl. data although there were some discrepancies between the results for CF_3CF_2 . The β eclipsed C-X bond (X = H or F) in the staggered fluorinated Et radicals is assocd. with an unusually low stretching frequency. Hyperconjugation is assumed to be mainly responsible for this effect. Vibrational assignments for the calcd. frequencies of the radicals are made on the basis of frequency calcns. on isotopically substituted analogs.

(45)

C.A.1987, 106, N 26

от 26.02.87 1987

Chif'

№ 7 Д56. Теоретическое исследование колебательных частот фторированных метильных и этильных радикалов. Theoretical study of the vibrational frequencies of fluorinated methyl and ethyl radicals. P addon - Row Michael N., Wong Stephen S. «J. Mol. Struct. Theorchem», 1987, 150, № 1—2, 109—120 (англ.)

В рамках неограниченного хартри-фоковского подхода рассчитаны гармонические колебательные частоты шахматных конформаций $\text{CH}_2\text{F}^\cdot$, CHF_2^\cdot , CF_3^\cdot , $\text{CH}_3\text{CH}_2^\cdot$, $\text{CF}_3\text{CH}_2^\cdot$, $\text{CH}_3\text{CF}_2^\cdot$ и $\text{CF}_3\text{CF}_2^\cdot$. Использован базис 3-211Ф. Рассчитанные частоты удовлетворительно согласуются с имеющимися эксперим. данными, но в случае $\text{CF}_3\text{CF}_2^\cdot$ наблюдаются расхождения. Обнаружено, что частота валентного колебания связи C—X (X = F, H) в β-положении, находящейся в плоскости симметрии радикала, необычно понижена, что отнесено на счет эффекта сверхсопряжения. Рассчитаны также частоты изотопозамещенных систем и проведено отнесение частот.

В. Л. Лебедев

(76)

ф. 1987, 18, № 7

CHF
2

1988

→ 4 Л211. Длинноволновый ИК-спектр фтористого метилена. The far-infrared spectrum of methylene fluoride / Carlotti M., Nivellini G. D., Tullini F., Carli B. // J. Mol. Spectrosc.— 1988.— 132, № 1.— С. 158—165.— Англ.

С помощью фурье-спектрометра получен спектр ИК-поглощения паров фтористого метилена в области $7-110 \text{ см}^{-1}$ с разрешением $0,002 \text{ см}^{-1}$. Измерены с точностью $1 \cdot 10^{-4} \text{ см}^{-1}$ частоты более 5000 линий вращательного спектра молекулы в основном колебательном состоянии и в состоянии $v_4=1$. Приведены частоты линий для состояния $v_4=1$ и их отнесение. Совместным анализом полученных данных и литературных по областям от микроволновой до миллиметровой определены вращательные постоянные и центробежные константы молекулы вплоть до октических для основного состояния и до секстичных для $v_4=1$. М. В. Т.

φ. 1989, № 4

$\text{CH}_2\text{F}(\text{H}_2\text{CF})$ [om. 30490] 1988

Jacob et al.,

Ti, Pi; J. Phys. and Chem. Ref.
Data, 1988, 17, N2, 367.

CH₂F

[Om. 34246]

1990

Baker J., Barnes M., et al.,
J. Electron Spectrosc. and
Relat. Phenom., 1990, 51,
Spec. Issue, 487-511

Photoelectron ● Spectroscopy of

unstable molecule.

FC₂H₂

1991

115: 169352v Analysis of the ν_8 band of methylene fluoride.
D'Cunha, R.; Deo, M. N.; Weber, A.; Olson, W. B. (Spectrosc. Div.,
Bhabha At. Res. Cent., Bombay, 400085 India). *J. Mol. Spectrosc.*
1991, 149(2), 412-24 (Eng). The high resoln. IR absorption
spectrum of the ν_8 band of methylene fluoride was measured on a
BOMEM DA 3.002 Fourier transform spectrometer in the region
1400-1465 cm⁻¹. More than 900 transitions were assigned in this
A-type band centered at 1435.6355 cm⁻¹. The data were combined
with the upper state microwave measurements in a weighted
least-squares fit to obtain mol. consts. for the upper state resulting
in an overall std. deviation of 0.0004 cm⁻¹.

U.A.

C.A. 1991, 115, N16

$H_2^{12}CF$

1992

117: 35704u Vibration-rotational interactions in the states $v_2 = 1$ and $v_3 = 1$ of fluoromethane ($H_3^{12}CF$). Papousek, D.; Papouskova, Z.; Ogilvie, J. F.; Praena, P.; Civis, S.; Winnewisser, M. (Inst. At. Mol. Sci., Acad. Sin., Taipei, Taiwan 10764). *J. Mol. Spectrosc.* 1992, 153(1-2), 145-66 (Eng). The vibration-rotational bands v_2 and v_3 of gaseous fluoromethane $H_3^{12}CF$ were measured in the region 1250-1600 cm^{-1} with resoln. 0.0034 cm^{-1} ; the 2046 lines assigned include 85 lines of the $\Delta k = \pm 2$ perturbation-allowed transitions to the doubly degenerate vibrational state $v_3 = 1$. A variational approach was applied to the anal. of both bands which are strongly perturbed by $x-y$ Coriolis interaction and by " $2, -1$ " l -type coupling. Simultaneously with 96 previously reported frequencies of pure rotational transitions in the ground vibrational state and 202 frequencies in the excited vibrational state $v_2 = 1$ and $v_3 = 1$ (P. Praena et al. (1991), the wavenumbers of 2046 vibration-rotational transitions of the bands v_2 and v_3 were fitted to det. 7 parameters of the v_2 band and 21 parameters of the v_3 band. The ground state parameters $A_0 = 5.1820107(12) \text{ cm}^{-1}$ and $D_{K^0}/10^{-6} =$

P_2, P_5, P_{12}
WAM. NOCM

C.A. 1992, 117, N 4

70.39(15) cm^{-1} are in excellent agreement with those detd. by Graner (1976). A std. deviation of $8.0 \times 10^{-4} \text{ cm}^{-1}$ was obtained for the simultaneous fit of the IR data and 0.38 MHz of the rotational frequencies of the upper state, but in the ν_5 band inevitable systematic differences up to 0.02 cm^{-1} between the ν_5 and ν_3 wavenumbers remain for certain values of the rotational quantum no. K at $J > 25$. From the anal. of the abso. intensities of lines of the ν_3 and ν_5 bands, $(\partial\mu_3/\partial q_{54})/(\partial\mu_5/\partial q_3) = +1.75$, which indicates a neg. perturbation of intensity ($\xi_{2347} < 0$).

1997

CHF -
CHF

Piecuch, Piotr,

nomens
nomenkl.,
MioP.
param
CNP-Mike
U. Keenert
Karakter.

J.-M. Kuect, 1997,
436-437, 503-536.

(all.)



HF; III)

CH₂F

1998

130: 229315g The far IR-spectra of the radicals CH₂F, CHF₂, and CF₃. Nolte, Jens (Max-Planck-Inst. Stroemungsforschung, Goettingen, Germany). *Ber. - Max-Planck-Inst. Stroemungsforsch.* 1998, (20), 1-91 pp. (Ger). Far-IR laser magnetic resonance (FIR-LMR) spectra of CH₂F, CHF₂, and CF₃ radicals were obsd. in the 300-800 pm wavelength region in the reactions of F atoms with a series of different hydrocarbon and partially fluorinated hydrocarbon mols. To identify the carriers of the obsd. resonance patterns and to exclude or identify contamination of the spectra by addnl. resonances from other paramagnetic species, numerous chem. tests were developed and performed. With optimized sources and the chem. tests in hand, many spectra could be unambiguously attributed to CH₂F, CHF₂, and CF₃, resp. Analyzing the CH₂F and CHF₂ data, hyperfine interactions of 2 different non-zero spin nuclei had to be taken into account. The external magnetic field treatment was extended according to the corresponding coupling scheme

(UK CREEP)

72 K

C.A. 1999, 130, N17

using the std. formalism for evaluating matrix elements of spherical tensor operators. Spectra due to the CH₂F radical were recorded on 7 laser lines at wavelengths between 301–568 μm . Obsd. resonances were assigned to fine and hyperfine components of pure rotational transitions of CH₂F in the ground vibrational state and the 1st excited state of the v_4 out-of-plane bending mode. The data were combined with previously reported microwave results (Endo et al., 1983) and subjected to a least-squares fit to det. the parameters of the effective Hamiltonian describing the $v_4 = 0$ and 1 vibrational levels of the CH₂F radical. The present study reports the 1st gas phase detection of CHF₂ radicals in their ground electronic state. The obsd. spectra suggest that inversion tunneling occurs in this radical. An unambiguous demonstration of tunneling motion will probably have to await the observation of zero field spectra. The chem. tests described here will certainly aid future work in this area. Due to the high quantum nos. involved in the obsd. CF₃ transitions, this radical exhibits only poorly resolved spectra at the wavelengths used.

2000

F: CH₂F

P: 3

133:315073 High-resolution FTIR spectroscopy of
the Coriolis interacting ν_3 and ν_9
fundamentals of methylene fluoride-d2.

Goh,
K. L.; Tan, T. L.; Ong, P. P.; Chaw, K. H.; Teo, H.

H. Department of Physics, Faculty of Science,
National University of Singapore Singapore

119260, Singapore Mol. Phys., 98(17),
1343-

1346 (English) 2000. The FTIR spectrum of the
 ν_3 and ν_9 bands of CD₂F₂ was recorded with an

unapodized resoln. of 0.0024 cm⁻¹ at 970-1080 cm⁻¹. These 2 bands with band centers ~26 cm⁻¹ apart were mutually coupled by Coriolis interactions. By fitting a total of 1639 IR transitions of both ν_3 and ν_9 with a std. deviation of 0.000 84 cm⁻¹ using a Watson's A-reduced Hamiltonian in the Ir representation with the inclusion of a 1st order c-type Coriolis resonance term, 2 sets of rovibrational consts. for $\nu_3 = 1$ and $\nu_9 = 1$ states were derived. The ν_3 band is B- type while the ν_9 band is A-type with band centers at 1030.1573 .+-. 0.0003 and 1003.7435 .+-. 0.0001 cm⁻¹, resp.

CH₂F

LOM 41310, "a"

2002

NEKOM. Levchenko S.V. et al.,
CMP-PA,
paraflec.
Zelenov; A106, N20, 5169-76.
Komarov.

NEKOMP

